

文章编号: 1000_0887(2004)04_0433_08

一类可再生资源系统的最优 动态平衡收获^{*}

何泽荣^{1,2}, 王绵森¹, 王 峰¹

(1. 西安交通大学 理学院, 西安 710049;
 2. 杭州电子工业学院 理学院, 杭州 310037)

(我刊原编委林宗池推荐)

摘要: 研究一类可再生资源系统的最优利用问题。首先, 引进一个新的效用函数, 它依赖于收获努力度和资源量, 由此导出最优控制问题。其次证明该控制问题最优解的存在性。然后, 利用无穷区间上控制问题的最大值原理, 得到一个非线性的四维最优系统。通过对上述系统正平衡解的详细分析, 借助 Hopf 分支定理证明了极限环的存在性。之后考虑中心流形上的简化系统, 分析极限环的稳定性。最后, 解释所得结果的生物经济学意义。

关 键 词: 可再生资源; 最优收获; 稳定性; 分支; 极限环

中图分类号: O175.1 文献标识码: A

引 言

利用数学模型研究可再生资源的最优收获问题, 已有不少文献^[1~9]。常见的研究策略可分为三类: 最优静态均衡收获^[3], 最优反馈收获^[2,4], 最优动态平衡收获^[6~9]。每种策略都有其优缺点。遗憾的是, 无论采用何种策略, 寻求最优控制率都是一项极其困难的任务。

本文结构如下: 在第 1 节里, 通过拓展文献[8]和[9]中的效用函数, 建立一个新的资源管理模型, 并讨论最优解的存在性。接下来在第 2 节和第 3 节中研究最优系统的极限环的存在性和稳定性。最后, 得出结论并解释所得结果的生物经济学意义。

1 模型及最优解的存在性

考虑控制问题

$$\max_u \int_0^\infty \left[\frac{m}{2}x^2 + ay - \frac{1}{2}eu^2 \right] e^{-\alpha t} dt, \quad (1)$$

$$x = x(1-x) - y, \quad x(0) = x_0, \quad 0 < x_0 < 1, \quad (2)$$

$$y = u(t), \quad y(0) = y_0 \geq 0, \quad u(t) \in (-c, c), \quad 0 < c < \infty, \quad (3)$$

$$x(t) \geq 0, \quad y(t) \geq 0, \quad (4)$$

* 收稿日期: 2002_05_03; 修订日期: 2003_09_09

基金项目: 国家自然科学基金资助项目(19971066)

作者简介: 何泽荣(1963—), 男, 重庆万州人, 副教授, 博士(Tel: +86_571_88079706; Fax: +86_571_86919031; E-mail: hezerong@263.net).

其中 $x(t)$ 表示 t 时刻的资源量, $y(t)$ 为人对资源的收获率, $u(t)$ 是收获调节函数。瞬时效用函数为 $(1/2)x^2 + ay$, $(1/2)eu^2$ 代表调节代价。 δ 为贴现率, $0 < \delta < 1$ 。 m, e, a 均为正常数。

本文假定: $m < 2a\delta$

命题 1 控制问题(1)~(4) 至少存在一个解。

证明 我们应用文献[10]中的定理 6.10。

显然, 控制集 $U = [-c, c]$ 是紧的。其次, 对每一个容许控制 $u(t)$, 目标泛函于上有界。

这是因为: 由方程(3) 可知 $y(t) < ct + y_0$, 从而

$$\begin{aligned} \int_0^\infty \left[\frac{m}{2}x^2 + ay - \frac{1}{2}eu^2 \right] e^{-\delta t} dt &< \\ \int_0^\infty \left[\frac{m}{2} + act + ay_0 \right] e^{-\delta t} dt &= \\ \frac{ay_0 + \frac{m}{2}}{\delta} + \frac{ac}{\delta^2}. \end{aligned}$$

第三, 集

$$N(x, y, U, t) = \left\{ (n_1, n_2, n_3) = \left(\left[\frac{m}{2}x^2 + ay - \frac{1}{2}eu^2 \right] e^{-\delta t} + \theta, x(1-x) - y, u : u \in U, \theta \leq 0 \right) \right\}$$

的凸性可由函数

$$f := \left[\frac{m}{2}x^2 + ay - \frac{1}{2}eu^2 \right] e^{-\delta t}$$

关于 u 的凸性导出。

第四, 下列不等式成立:

$$\begin{aligned} [|x(1-x) - y|^2 + u^2]^{1/2} &\leq [|x| + |y|]^2 + u^2]^{1/2} \leq \\ [2(|x|^2 + |y|^2) + c^2]^{1/2} &\leq \\ \sqrt{2(x^2 + y^2)}^{1/2} + c. \end{aligned}$$

最后, 上述定理的其它条件显然满足, 因为此处不存在混合约束条件。定理证毕。

2 最优性条件和极限环的存在性

上列控制问题的现值拉格朗日函数为

$$\begin{aligned} L = \frac{m}{2}x^2 + ay - \frac{1}{2}eu^2 + \lambda_1 x(1-x) - \\ \lambda_2 y + \lambda_3 u + \mu_1 x + \mu_2 y. \end{aligned}$$

利用文[11]中的最大值原理, 可得

$$\frac{\partial L}{\partial u} = -eu + \lambda_3 = 0, \quad \mu_1 x = 0, \quad \mu_2 y = 0. \quad (5)$$

结合(3)和(5), 导出

$$y = \lambda_3 e. \quad (6)$$

协态变量方程组为

$$\dot{x} = \delta \lambda_1 - \frac{\partial L}{\partial x} = (\delta - 1)\lambda_1 - mx + 2x\lambda_3 - \mu_1, \quad (7)$$

$$\dot{y} = \delta \lambda_2 - \frac{\partial L}{\partial y} = \delta \lambda_2 + \lambda_3 - a - \mu_2. \quad (8)$$

如果系统(1)及(6)~(8)有平衡态 $(x, y, \lambda_1, \lambda_2)$, $x > 0, y > 0$, 则方程(5)告诉我们

$$\mu_1 = \mu_2 = 0 \bullet \quad (9)$$

容易求得平衡态为 $E(x, y, \lambda_1, \lambda_2)$, 其中

$$0 < x = a(1 - \delta)/(2a - m) < 1, y = x(1 - x) > 0, \lambda_1 = a, \lambda_2 = 0$$

下面, 我们的分析将局限于平衡态的邻域, 因此, 可假设方程(9)满足•

系统(1)及(6)~(8)在平衡态 E 处的 Jacobi 阵为

$$J = \begin{pmatrix} \frac{2a\delta - m}{2a - m} & -1 & 0 & 0 \\ 0 & 0 & 0 & \frac{1}{e} \\ 2a - m & 0 & \frac{m(1 - \delta)}{2a - m} & 0 \\ 0 & 0 & 1 & \delta \end{pmatrix}, \quad (10)$$

不难导出 J 的特征方程为

$$s^4 - 2\delta s^3 + \left[\delta^2 + \frac{m(1 - \delta)(2a\delta - m)}{(2a - m)^2} \right] s^2 - \frac{m\delta(1 - \delta)(2a\delta - m)}{(2a - m)^2} s + \frac{2a - m}{e} = 0 \bullet \quad (11)$$

方程(11)的所有特征根是(见文[8]定理1)

$$s = \frac{\delta}{2} \pm \sqrt{\left(\frac{\delta}{2}\right)^2 - \frac{K}{2} \pm \frac{1}{2} \sqrt{K^2 - 4|J|}}, \quad (12)$$

其中

$$K = \frac{m(1 - \delta)(2a\delta - m)}{(2a - m)^2} > 0, \quad |J| = \det(J) = \frac{2a - m}{e} > 0 \bullet \quad (13)$$

为了求得 s 的实部表达式, 令 $s = p + q\text{i}$ • 由(12)可得

$$\left(p + q\text{i} - \frac{\delta}{2}\right)^2 = \left(\frac{\delta}{2}\right)^2 - \frac{K}{2} \pm \frac{1}{2} \sqrt{K^2 - 4|J|} \bullet$$

比较上述方程中实部和虚部系数, 我们得到

$$p^2 - q^2 - p\delta = -\frac{K}{2}, \quad (14)$$

$$-q^2(2p - \delta)^2 = \frac{1}{4}(K^2 - 4|J|) \bullet \quad (15)$$

利用(14)和(15)消去 q^2 项, 得出

$$p^4 - 2\delta p^3 + \frac{5\delta^2 + 2K}{4}p^2 - \frac{\delta^3 + 2K}{4} + \frac{1}{16}(K^2 - 4|J| + 2\delta^2 K) = 0 \bullet \quad (16)$$

方程(16)的根为(见[8])

$$p = \frac{\delta}{2} \pm \frac{1}{4} \sqrt{2\delta^2 - 4K \pm 2\sqrt{\delta^4 - 4\delta^2 K + 16|J|}} \bullet \quad (17)$$

当且仅当

$$K^2 + 2\delta^2 K - 4|J| = 0, \quad (18)$$

方程(11)有唯一一对纯虚根

$$\pm \omega_i, \quad \omega = \sqrt{K/2}, \quad (19)$$

J 的其它特征根为 $\delta \pm \omega_i$ •

如果方程(18)满足, 则

$$p = \frac{\delta}{2} - \frac{1}{4} \sqrt{2\delta^2 - 4K + 2\sqrt{\delta^4 - 4\delta^2K + 16|\mathbf{J}|}} = 0.$$

然而,由方程(13)知

$$\frac{dp}{de} = - \frac{2(d+|\mathbf{J}|/de)}{\sqrt{2\delta^2 - 4K + 2\sqrt{\delta^4 - 4\delta^2K + 16|\mathbf{J}|}} \sqrt{\delta^4 - 4\delta^2K + 16|\mathbf{J}|}} > 0.$$

据 Hopf 分支定理, 我们断言系统(1)及(6)~(8)当 $0 < e - e_0 < < 1$ 时存在极限环, 这里 e_0 可由(18)求出得

$$e_0 = \frac{4(2a-m)^5}{m(1-\delta)(2a\delta-m)[m(1-\delta)(2a\delta-m) + 2\delta^2(2a-m)^2]}. \quad (20)$$

3 极限环的稳定性

\mathbf{J} 相应于特征值 $\pm \omega_i$ 的特征向量为

$$\beta_{1,2} = \begin{pmatrix} 1 \\ v_1 + i\omega \\ e\omega[-\delta\omega - v_1\omega \pm i(\omega^2 - \delta v_1)] \\ e\omega(\omega \pm iv_1) \end{pmatrix}, \quad v_1 = \frac{2a\delta - m}{2a - m}. \quad (21)$$

相应于 $\delta \pm \omega_i$ 的特征向量为

$$\beta_{3,4} = \begin{pmatrix} 1 \\ v_1 - \delta + i\omega \\ e\omega[2\delta\omega - v_1\omega \pm i(\omega^2 + \delta v_1 - \delta^2)] \\ e[\delta v_1 - \delta^2 + \omega^2 \pm i(\omega v_1 - 2\delta\omega)] \end{pmatrix}.$$

令

$$r_1 = x - x, r_2 = y - y, r_3 = \lambda_4 - \lambda_1, r_4 = \lambda_2 - \lambda_3,$$

系统(1)及(6)~(8)化为

$$\dot{\mathbf{r}} = \mathbf{J}\mathbf{r} + \phi(\mathbf{r}), \quad (22)$$

其中 $\mathbf{r} = (r_1, r_2, r_3, r_4)^T$, $\phi(\mathbf{r}) = (r_1^2, 0, 2r_1r_3, 0)^T$.

令 $\mathbf{B} := (\beta_1, \beta_2, \beta_3, \beta_4)$, $\mathbf{D} := \text{diag}(i\omega, -i\omega, \delta + i\omega, \delta - i\omega)$. 考虑变换

$$\begin{aligned} \mathbf{B}^{-1}: R^4 &\rightarrow \left\{ z = (z_1, z_1, z_2, z_2) : z_i \in \mathbf{C} \right\}, \\ \mathbf{r} &\rightarrow z = \mathbf{B}^{-1}\mathbf{r}, \end{aligned}$$

其中 z_i 表示 z_i 的复共轭. 则方程(21)变为

$$\begin{aligned} \dot{z} &= \mathbf{B}^{-1}\dot{\mathbf{r}} = \mathbf{B}^{-1}\mathbf{J}\mathbf{r} + \mathbf{B}^{-1}\phi(\mathbf{r}) = (\mathbf{B}^{-1}\mathbf{J}\mathbf{B})\mathbf{r} + \mathbf{B}^{-1}\phi(\mathbf{B}z) = \\ &= \mathbf{D}z + \mathbf{B}^{-1}\phi(\mathbf{B}z). \end{aligned} \quad (23)$$

记矩阵 \mathbf{B} 的逆为

$$\mathbf{B}^{-1} = |\mathbf{B}|^{-1} \begin{pmatrix} B_{11} & \dots & B_{31} & \dots \\ \cdots & \cdots & \cdots & \cdots \\ B_{13} & \dots & B_{33} & \dots \\ \cdots & \cdots & \cdots & \cdots \end{pmatrix},$$

其中 B_{ij} 表示元素 b_{ij} 在 \mathbf{B} 中的代数余子式.

不难得到

$$\mathbf{B}z = (F_1, F_2, F_3, F_4)^T, \quad F_1 = z_1 + z_1 + z_2 + z_2$$

$$F_3 = e\omega[-\delta\omega - v_1\omega + i(\omega^2 - v_1\delta)]z_1 + e\omega[-\delta\omega - v_1\omega - i(\omega^2 - v_1\delta)]z_1 + e\omega[2\omega\delta - \omega v_1 + i(\delta v_1 - \delta^2 + \omega^2)]z_2 + e\omega[2\omega\delta - \omega v_1 - i(\delta v_1 - \delta^2 + \omega^2)]z_2.$$

再由(22)可知

$$z_1 = i\omega z_1 + |\mathbf{B}|^{-1}(-B_{11}F_1^2 + 2B_{13}F_1F_3) := i\omega z_1 + |\mathbf{B}|^{-1}(f_1z_1^2 + f_2z_1z_1 + f_3z_1z_2 + f_4z_1z_2 + f_5z_1z_2 + f_6z_1z_2 + \dots), \quad (24)$$

$$z_2 = (\delta + i\omega)z_2 + |\mathbf{B}|^{-1}(-B_{13}F_1^2 + 2B_{33}F_1F_3) := (\delta + i\omega)z_2 + |\mathbf{B}|^{-1}(g_1z_1^2 + g_2z_1z_1 + g_3z_1^2) + \dots, \quad (25)$$

其中

$$f_1 = -B_{11} + 2B_{31}e\omega[-\delta\omega - v_1\omega + i(\omega^2 - v_1\delta)], \quad (26)$$

$$f_2 = -2B_{11} + 4B_{31}e\omega[-\delta\omega - v_1\omega], \quad (27)$$

$$f_3 = -2B_{11} + 2B_{31}e\omega[\delta\omega - 2v_1\omega + i(2\omega^2 - \delta^2)], \quad (28)$$

$$f_4 = -2B_{11} + 2B_{31}e\omega[\delta\omega - 2v_1\omega + i(-2\delta v_1 + \delta^2)], \quad (29)$$

$$f_5 = -2B_{11} + 2B_{31}e\omega[\delta\omega - 2v_1\omega + i(2\delta v_1 - \delta^2)], \quad (30)$$

$$f_6 = -2B_{11} + 2B_{31}e\omega[\delta\omega - 2v_1\omega + i(-2\omega^2 + \delta^2)], \quad (31)$$

$$g_1 = -B_{13} + 2B_{33}e\omega[-\delta\omega - v_1\omega + i(\omega^2 - v_1\delta)], \quad (32)$$

$$g_2 = -2B_{13} + 4B_{33}e\omega[-\delta\omega - v_1\omega], \quad (33)$$

$$g_3 = -B_{13} + 2B_{33}e\omega[-\delta\omega - v_1\omega + i(-\omega^2 + v_1\delta)]. \quad (34)$$

在中心流形上, 令

$$z_2 = h(z_1, z_1) = h_1z_1^2 + h_2z_1z_1 + h_3z_1^2 + \dots, \quad (35)$$

$$z_2 = \frac{\partial h}{\partial z_1}z_1 + \frac{\partial h}{\partial z_1}z_1. \quad (36)$$

结合(23)~(24)与(34)~(35), 我们得到

$$(\delta + i\omega)(h_1z_1^2 + h_2z_1z_1 + h_3z_1^2) + g_1z_1^2 + g_2z_1z_1 + g_3z_1^2 + \dots = (2h_1z_1 + h_2z_1)(iz_1\omega + \dots) + (h_2z_1 + 2h_3z_1)(-\text{i}\omega z_1 + \dots).$$

比较 z_1, z_1 的系数, 并利用(31)~(33)推出

$$h_1 = -\frac{g_1(\delta + i\omega)}{\delta^2 + \omega^2}, \quad (37)$$

$$h_2 = -\frac{g_2(\delta - i\omega)}{\delta^2 + \omega^2}, \quad (38)$$

$$h_3 = -\frac{g_3(\delta - 3i\omega)}{\delta^2 + 9\omega^2}. \quad (39)$$

当 $H := \text{Re}(if_2/\omega + f_3h_2 + f_4h_2 + f_5h_1 + f_6h_3) < 0$ 时, 极限环稳定。

结合等式(26)~(31)、(37)~(39)、(13)~(19)~(21), 并使用 Mapple7, 我们得出如下表达式

$$\begin{aligned} H = & -4096(-2a + m)^{12}\delta^3(4a^2\delta^2 + 4\delta ma - 8ma\delta^2 - 2m^2 + 2\delta m^2 + \delta^2 m^2) \times \\ & (2m^5\delta^5 - 74m^4\delta^5 + 344m^3a^2\delta^5 + 208m^2a^3\delta^5 - 400ma^4\delta^5 + 64a^5\delta^5 + \\ & 27m^5\delta^4 - 48m^4a\delta^4 - 134m^3a^2\delta^4 + 384m^2a^3\delta^4 + 240ma^4\delta^4 - 42m^5\delta^3 + \\ & 744m^4a\delta^3 + 1056m^3a^2\delta^3 - 432m^2a^3\delta^3 - 82m^5\delta^2 - 848m^4a\delta^2 - \end{aligned}$$

$$136m^3a^2\delta^2 + 147m^5\delta + 246m^4a\delta - 54m^5)/[m^2(2a\delta - m)^2(\delta - 1)^2 \times \\ (-4a\delta + m + m\delta)^4(-2a\delta - m + 2m\delta)^5(8a^2\delta^2 - 26ma\delta^2 + 2m^2\delta^2 + \\ 18ma\delta - 9m^2 + 9m^2\delta)] \bullet$$

令 $m = a\theta\delta$, $0 < \theta < 2$, 则上述等式变为

$$H = -4096a^4(\theta\delta - 2)^{12}(4 + 4\theta - 8\theta\delta - 2\theta^2 + 2\theta\delta^2 + \theta^2\delta^2) \times \\ (2\theta^5\delta^5 - 74\theta^4\delta^4 + 344\theta^3\delta^3 + 208\theta^2\delta^2 - 400\theta\delta + 64 + 27\theta^5\delta^4 - \\ 48\theta^4\delta^3 - 1344\theta^3\delta^2 + 384\theta^2\delta + 240\theta - 42\theta^5\delta^3 + 744\theta^4\delta^2 + \\ 1056\theta^3\delta - 432\theta^2 - 82\theta^5\delta^2 - 848\theta^4\delta - 136\theta^3 + 147\theta^5\delta + 246\theta^4 - \\ 54\theta^5)/[\delta^5\theta^2(\theta - 2)^2(\delta - 1)^2(\theta + \theta\delta - 4)^4(2\theta\delta - \theta - 2)^5 \times \\ (8 - 26\theta\delta + 2\theta^2\delta^2 + 18\theta - 9\theta^2 + 9\theta\delta^2)] := \\ \left\{ -4096a^4(\theta\delta - 2)^{12}/[\delta^5\theta^2(\theta - 2)^2(\delta - 1)^2(\theta - 4 + \theta\delta)^4 \times \\ (2\theta\delta - 2 - \theta)^5] \right\} F \bullet$$

显然, 当 $0 < \delta < 1/2$ 时, $\text{sgn}(H) = \text{sgn}(F) \bullet$

如果 $0 < \theta < 2$, $0 < \delta < 1/2$, 则易知

$$R := 8 - 26\theta\delta + 2\theta^2\delta^2 + 18\theta - 9\theta^2 + 9\theta^2\delta > 0,$$

$$P_1 := 4 + 4\theta - 8\theta\delta - 2\theta^2 + 2\theta\delta^2 + \theta^2\delta^2 > 0 \bullet$$

因此, $\text{sgn}(H) = \text{sgn}(P_2)$, 其中

$$P_2 := 2\theta^5\delta^5 - 74\theta^4\delta^4 + 344\theta^3\delta^3 + 208\theta^2\delta^2 - 400\theta\delta + 64 + 27\theta^5\delta^4 - 48\theta^4\delta^3 - \\ 1344\theta^3\delta^2 + 384\theta^2\delta + 240\theta - 42\theta^5\delta^3 + 744\theta^4\delta^2 + 1056\theta^3\delta - \\ 432\theta^2 - 82\theta^5\delta^2 - 848\theta^4\delta - 136\theta^3 + 147\theta^5\delta + 246\theta^4 - 54\theta^5 \bullet$$

然而, 很难再对 P_2 的符号作理论分析。为此, 我们在区域 $\{0 < \theta < 2, 0 < \delta < 0.01\}$ 和 $\{0.8 < \theta < 2, 0 < \delta < 0.01\}$ 上作出 P_2 的图形(见图1和图2)。从图上可以清楚地看到, 当 $0.8 < \theta < 2, 0 < \delta < 0.01$ 时, $P_2 < 0$, 即 $H < 0 \bullet$

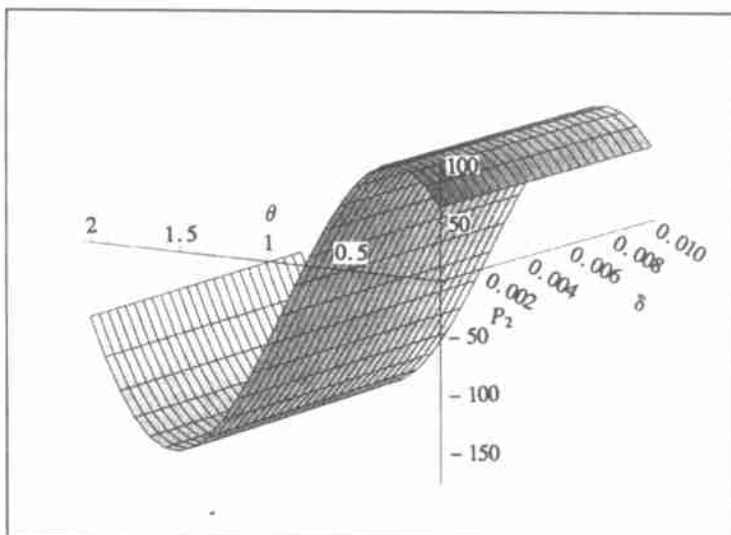
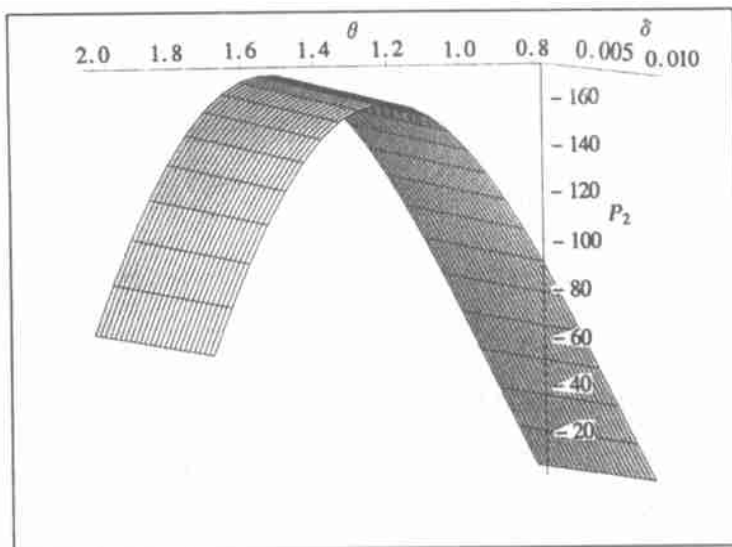


图1 P_2 的值分布

图2 P_2 的符号

4 结论及其生物经济学意义

综合第2节和第3节的结果, 得到

命题2 当 $0 < \delta < 0.01$, $0.8a\delta < m < 2a\delta$, $0 < e - e_0 < < 1$ 时, 最优控制问题(1)~(4)存在稳定的极限环。

命题2意味着: 在适当的条件下, 最优收获率和资源量都随时间周期性变化。这样的收获策略保证资源量处于稳定的动态平衡, 亦即这种平衡不会被小扰动所破坏, 同时, 人们的经济利益得以最大化, 并且该最优平衡将持续下去。

[参 考 文 献]

- [1] Clark C W. Mathematical Bioeconomics: the Optimal Management of Renewable Resources [M]. 2ed. New York: John Wiley & Sons, Inc, 1990, 39—340.
- [2] Mesterton-Gibbons M. On the optimal policy for combined harvesting of independent species[J]. Natural Resources Modelling, 1987, 2(1): 109—134.
- [3] Mesterton-Gibbons M. On the optimal policy for combined harvesting of predator and prey[J]. Natural Resources Modelling, 1988, 3(1): 63—89.
- [4] Mesterton-Gibbons M. A technique for finding optimal two-species harvesting policies[J]. Ecological Modelling, 1996, 92(2): 235—244.
- [5] Pradham T, Chaudhuri K S. A dynamical reaction model of a two-species fishery with taxation as a control instrument: a capital theoretic analysis[J]. Ecological Modelling, 1999, 121(3): 1—16.
- [6] Fan M, Wang K. Optimal harvesting policy for single population with periodic coefficients[J]. Mathematical Biosciences, 1998, 152(1): 165—177.
- [7] Feichtinger G, Novak A, Wirl F. Limit cycles in intertemporal adjustment models[J]. J Economic Dynamics and Control, 1994, 18(2): 353—380.
- [8] Dockner E. Local stability analysis in optimal control problems with two state variables[A]. In: Feichtinger G Ed. Optimal Control Theory and Economic Analysis [C]. Amsterdam: North-Holland,

1987, 30—45.

- [9] Liski M, Kort P M, Novak A. Increasing returns and cycles in fishing[J]. Resources and Energy Economics , 2001, 23(4) : 241—258.
- [10] Seierstad K, Sydsæter A. Optimal Control Theory With Economic Applications [M] . Amsterdam: North_Holland, 1987, 8 —25.
- [11] Carlson D, Haurie A B, Leizarowits A. Infinite Horizon Optimal Control [M] . Berlin: Springer_Verlag, 1991, 24 —27.
- [12] Guckenheimer J, Holmes P. Nonlinear Oscillations , Dynamical Systems , and Bifurcations of Vector Fields [M] . Berlin: Springer_Verlag, 1983, 117—125.

Optimal Dynamical Balance Harvesting for a Class of Renewable Resources System

HE Ze_rong^{1, 2}, WANG Mian_sen¹, WANG Feng¹

(1. Faculty of Science, Xi'an Jiaotong University,

Xi'an 710049, P. R. China;

2. Faculty of Science, Hangzhou Institute of Electronic Engineering,

Hangzhou 310037, P. R. China)

Abstract: An optimal utilization problem for a class of renewable resources system is investigated. Firstly, a control problem was proposed by introducing a new utility function which depends on the harvesting effort and the stock of resources. Secondly, the existence of optimal solution for the problem was discussed. Then, using a maximum principle for infinite horizon problem, a nonlinear four-dimensional differential equations system was attained. After a detailed analysis of the unique positive equilibrium solution, the existence of limit cycles for the system is demonstrated. Next a reduced system on the central manifold is carefully derived, which assures the stability of limit cycles. Finally significance of the results in bioeconomics is explained.

Key words: renewable resource; optimal harvesting; stability; bifurcation; limit cycle